

# طراحی ساختارهای ANFIS و شبکه‌های عصبی GMDH برای پیش‌بینی میزان بهینه مصرف ماده منعقد کننده در فرایند تصفیه آب، مطالعه موردی: تصفیه خانه بزرگ آب گیلان

محمد اکبریزاده<sup>۱</sup>

الهیار داغبندان<sup>۱</sup>

پذیرش (۹۲/۳/۴)

(دریافت ۹۱/۹/۲۳)

## چکیده

در این مطالعه با توجه به اهمیت منابع سطحی در تأمین آب شرب و لزوم استفاده از مواد شیمیایی گوناگون در مراحل مختلف تصفیه این گونه آب‌ها، میزان مصرف مواد منعقد کننده در فرایند تصفیه آب مورد بررسی قرار گرفت. یکی از مهم‌ترین قسمت‌های فرایند تصفیه آب، مربوط به میزان مصرف مواد منعقد کننده در واحد انعقاد و لخته‌سازی است. در تصفیه خانه، برای تعیین نوع و غلظت منعقد کننده مناسب، از آزمایش جار استفاده می‌شود. این آزمایش وقت‌گیر و همراه با خطا است و نمی‌توان زیاد به نتایج آن استناد کرد. برای رفع این مشکل می‌توان از روش‌های هوشمند استفاده کرد. در این تحقیق داده‌های آزمایشگاهی سال ۹۱-۱۳۹۰ پس از جمع‌آوری و پالایش، مورد مطالعه قرار گرفتند. با بهره‌گیری از سیستم استنتاج فازی-عصبی تطبیقی (ANFIS) و شبکه‌های عصبی نوع GMDH و با استفاده از نتایج تجربی به منظور دستیابی به مقدار بهینه مصرفی منعقد کننده پلی‌آلومینیوم کلراید در تصفیه خانه رشت، دو مدل غیرخطی ارائه شد. اثر پارامترهای ورودی شامل دما، pH، کدورت، جامدات معلق، هدایت الکتریکی و رنگ بر میزان مصرف منعقد کننده بررسی شد. نتایج نشان داد مدل ANFIS نسبت به مدل GMDH کارایی بهتری برای پیش‌بینی میزان مصرف منعقد کننده پلی‌آلومینیوم کلراید دارد.

واژه‌های کلیدی: تصفیه آب، انعقاد و لخته‌سازی، پلی‌آلومینیوم کلراید، ANFIS، GMDH.

## Design of ANFIS Structures and GMDH Type-Neural Network for Prediction of Optimum Coagulant Dosage in Water Treatment Process Case Study: Great Water Treatment Plant in Guilan Province

A. Daghbandan<sup>1</sup>

M. Akbarizadeh<sup>2</sup>

(Received Dec. 13, 2012 Accepted May 25, 2013)

### Abstract

Given the increasing importance of surface water bodies as supply sources of drinking water and regarding the requirement for using different chemicals at various stages of water treatment processes, it is essential to investigate coagulant consumption in water treatment plants. Determination of the required dosage of coagulants used in the coagulation and flocculation unit is one of the most important decisions in water treatment operations. For this purpose, the jar test is generally used to determine the type and concentration of suitable coagulants in a water treatment plant. However, the test is rather time-consuming and unreliable due to the inaccurate results it yields. Instead, intelligent methods can be employed to overcome this shortcoming of the jar test. In this study, experimental data were collected over the period from 2011 to 2012 and further refined for study. Two non-linear models based on adaptive neuro-fuzzy inference system (ANFIS) and GMDH-type neural networks were then developed and experimental results were used to determine the optimum poly-aluminium chloride dosage for use at Guilan water treatment plant. The effects of input parameters including temperature, pH, turbidity, suspended solids, electrical conductivity, and color were investigated on coagulant dosage. The ANFIS model was found to outperform the GMDH model in predicting the required poly-aluminium chloride dosage.

**Keywords:** Water Treatment, Coagulation and Flocculation, Poly-Aluminium Chloride, ANFIS, GMDH.

1. Assist. Prof. of Chemical Eng., Dept. of Eng., Guilan University, Guilan  
(Corresponding Author) (+98 131) 7234501 daghbandan@gilan.ac.ir  
2. MSc Student of Chemical Eng., Dept. of Eng., Guilan University, Guilan

۱- استادیار گروه مهندسی شیمی، دانشکده فنی و مهندسی، دانشگاه گیلان (نوبنده مسئول) (۰۱۳۱) ۷۷۳۴۵۰۱ daghbandan@gilan.ac.ir  
۲- دانشجوی کارشناسی ارشد گروه مهندسی شیمی، دانشکده فنی و مهندسی، دانشگاه گیلان

## ۱- مقدمه

برای پیش‌بینی میزان مصرف، مدل‌های شبکه‌های عصبی و سیستم‌های فازی و معادلات چند جمله‌ای ارائه شده است. بیز و باچی در سال ۱۹۹۶ دو مدل مجزا از معادلات چندجمله‌ای برای تعیین میزان مصرف منعقدکننده در تصفیه خانه کلوفونت<sup>۹</sup> فرانسه ارائه کردند [۱۲]. گاگنون و همکاران در سال ۱۹۹۷ مدلی از شبکه‌های عصبی مصنوعی برای تخمين و تعیین میزان بهینه از سولفات آلومینیوم در تصفیه خانه استفادی در کبک<sup>۱۰</sup> کانادا ارائه دادند [۱۳]. ون لیون ون در سال ۱۹۹۹ یک مدل از شبکه‌های عصبی مصنوعی برای تصفیه خانه آب در جنوب استرالیا توسعه داد که بهمنظور تعیین دز بهینه از میزان مصرف سولفات آلومینیوم ارائه شده بود [۱۴]. یو و همکاران در سال ۲۰۰۰ یک مدل شبکه عصبی مصنوعی برای تصفیه خانه چان ژو<sup>۱۱</sup> کره جنوبی ارائه کردند [۱۰]. میر و همکاران در سال ۲۰۰۴ با استفاده از داده‌های ون لیون، میزان بهینه مصرف سولفات آلومینیوم را با استفاده از شبکه‌های عصبی پیش‌بینی کردند [۱۵]. اولین بار در سال ۲۰۰۸ میزان بهینه مصرف منعقدکننده در فرایند تصفیه آب با استفاده از سیستم ANFIS<sup>۱۲</sup> توسط وو و لو ارائه شد. این تحقیق بر روی تصفیه خانه شهر کانتی تایپه در تایوان<sup>۱۳</sup> انجام شد. نتایج نشان داد که مدل می‌تواند با دقت خوبی میزان مصرف منعقدکننده را پیش‌بینی کند [۱۶]. سلیم حدام و همکاران نیز دز سال ۲۰۱۱ با استفاده از سیستم ANFIS، میزان مصرف منعقدکننده در تصفیه خانه شهر بودوا الجزایر<sup>۱۴</sup> را پیش‌بینی کردند [۱۹]. مدل‌های ایجاد شده توسط محققان با توجه به پارامترهای مؤثر بر کیفیت آب خام که به عنوان ورودی در نظر گرفته می‌شوند و میزان مصرف منعقدکننده که به عنوان خروجی شبکه در نظر گرفته می‌شود، انجام شده است.

در این تحقیق روش‌های شبکه‌ای چند هدفی عصبی-فازی (ANFIS) و شبکه‌های عصبی دسته‌بندی گروهی داده‌های عددی<sup>۱۵</sup>

برای حل مسئله مورد استفاده قرار گرفتند [۱۷ و ۱۸].

مدل‌سازی فرایند با استفاده از داده‌های آزمایشگاهی شامل ۳۰۸ داده که مربوط به مصرف پلی آلومینیوم کلراید بود، انجام شد. مدل شامل شش ورودی دما، pH، دورت، ذرات حل شده جامد، هدایت الکتریکی و رنگ و یک خروجی که میزان مصرف منعقدکننده است، بود. بهمنظور اطمینان از صحت روش‌های پیشنهادی، دقت مدل‌های ارائه شده نسبت به رفتار داده‌های تجربی

برای شناسایی سیستم‌ها و مدل‌سازی فرایندهای پیچیده، استفاده از داده‌های ورودی و خروجی همواره مورد توجه محققان بوده است. برای مدل‌سازی از روش‌هایی که به محاسبات نرم<sup>۱</sup> معروف هستند، استفاده می‌شود. مهم‌ترین اجزای محاسبات نرم، منطق فازی<sup>۲</sup>، شبکه‌های عصبی<sup>۳</sup> و الگوریتم ژنتیک<sup>۴</sup> هستند که در کنترل و شناسایی سیستم‌های پیچیده غیر خطی از قابلیت بالایی برخوردارند [۱].

هدف از طراحی سیستم تصفیه آب شرب، تهیه آب شرب با کیفیت بالا در کوتاه‌ترین زمان ممکن و با حداقل هزینه است. فرایند تصفیه به علت وجود فعل و انفعالات فیزیکی و شیمیایی، اغلب با مشکل همراه است [۲]. فرایند عمومی تصفیه شامل واحدهای تهشیینی اولیه، انعقاد و لخته‌سازی، تهشیینی ثانویه، فیلتراسیون و گذرازدایی است. واحد انعقاد و لخته‌سازی برای حذف ذرات در فرایند تصفیه ایجاد شده است [۳]. تحقیقات بسیاری در زمینه اثر پارامترهای آب خام و انواع منعقدکننده بر روی واحد انعقاد انجام گرفته است [۴ و ۵]. دمای آب خام می‌تواند اثر معنی داری بر روی میزان مصرف منعقدکننده داشته باشد [۶]. pH آب خام نیز یک فاکتور مهم در فرایند انعقاد است. انعقاد بهینه با استفاده از سولفات آلومینیوم در pH بین ۶ تا ۸ اتفاق می‌افتد [۷]. دورت<sup>۵</sup> نیز بر روی مشخصه‌های فیزیکی و شیمیایی آب مؤثر است [۸]. یکی دیگر از پارامترهای مؤثر مربوط به تصفیه آب، هدایت الکتریکی<sup>۶</sup> است. هدف از اندازه‌گیری این پارامتر به دست آوردن اطلاعاتی راجع به ماهیت مواد معدنی در آب است [۹].

بهمنظور تعیین میزان بهینه مصرف منعقدکننده در واحد انعقاد از آزمایش جار<sup>۷</sup> در آزمایشگاه استفاده می‌شود [۱۰]. میزان مصرف منعقدکننده به پارامترهایی چون دما، pH، دورت، ذرات حل شده جامد<sup>۸</sup>، هدایت الکتریکی و رنگ آب خام بستگی دارد. جار تست عموماً وقت‌گیر و همراه با خطا است [۱۱]. این آزمایش برای نشان دادن تأثیر مواد شیمیایی در تصفیه خانه‌ها طراحی شده است.

در چند دهه اخیر، تحقیقات بسیاری بر روی میزان مصرف منعقدکننده در فرایند تصفیه آب شرب صورت گرفته است. تاکنون

<sup>9</sup> Clairfont

<sup>10</sup> Stefoy water treatment plant in Quebec

<sup>11</sup> Chungju

<sup>12</sup> Adaptive Neuro-Fuzzy Inference System (ANFIS)

<sup>13</sup> Taipei County, Taiwan

<sup>14</sup> Boudouaou, Algeria

<sup>15</sup> Group Method of Data Handling (GMDH)

<sup>1</sup> Soft Computing

<sup>2</sup> Fuzzy Logic

<sup>3</sup> Neural Network

<sup>4</sup> Genetic Algorithms

<sup>5</sup> Turbidity

<sup>6</sup> Electrical Conductivity

<sup>7</sup> Jar Tests

<sup>8</sup> Suspended of Solid

دستگاههای اشاره شده در جدول ۱ استفاده شد. میزان مصرف منعقدکننده با استفاده از جارتست تعیین شد. در جدول ۲ به عنوان نمونه تعدادی از داده‌های آزمایشگاهی گزارش شده است.

جدول ۱- دستگاههای اندازه‌گیری متغیرهای ورودی مؤثر بر میزان  
صرف منعقدکننده

ساخت	مدل	دستگاه
آلمان	330i/Tetrocon325, WTW	دماسنچ
آلمان	SenTix 41, WTW	pH متر
امریکا	2100 N, HACH	کدورت سنج
امریکا	DR/2500, HACH	اندازه‌گیری ذرات حل شده جامد
آلمان	330i/Tetrocon325, WTW	هدایت سنج
امریکا	DR/2500, HACH	رنگ (طیف سنج)

جدول ۲- داده‌های آزمایشگاهی حاصل از آزمایش جار

خروجی	ورودی							No
میزان منعقدکننده (ppm)	رنگ (pt-co)	ردابیت (µs/cm)	جاذب الکتریکی (mg/L)	معدن کدورت (NTU)	pH (+)	دما (°C)		
۶	۲۰۵	۱۰۹۳	۷۹	۲۵/۴	۸/۲۷	۲۲/۴	۱	
۱۱	۳۹۷	۱۷۹۰	۴۶	۳۷/۸	۸/۰۲	۲۲/۹	۲	
۴	۲۳۷	۱۵۰۰	۹۷	۲۶/۶	۸/۲۸	۲۲/۸	۳	
۱۳	۳۵۷۰	۴۴۵	۲۴۹	۱۵۴	۸/۰۵	۱۵/۷	۴	
۵	۲۴۴	۱۴۴۸	۸۵	۲۳/۶	۸/۱۸	۲۲/۶	۵	
۲۴	۳۶۳۴	۶۳۷	۱۱۲۰	۷۴۷	۸/۱۲	۱۵/۵	۶	
۹	۷۴۰	۶۰۱	۲۱۰	۸۸	۸/۰۹	۱۶/۱	۷	
۱۰	۹۹۲	۶۵۶	۱۵۲	۱۰۵	۷/۹۹	۱۶/۱	۸	

۳-۲- سیستم استنتاجی عصبی- فازی تطبیقی (ANFIS) نظریه مجموعه فازی در سال ۱۹۶۵ توسط لطفی عسگرزاده در دانشگاه برکلی امریکا ارائه شد [۱۹]. نظریه مجموعه‌های فازی، نظریه‌ای است برای اقدام در شرایط عدم اطمینان؛ این نظریه قادر است بسیاری از مفاهیم و متغیرها و سیستم‌هایی را که نادقيق و مبهم هستند، صورت‌بندی ریاضی ببخشد و زمینه را برای استدلال، استنتاج، کنترل و تصمیم‌گیری در شرایط عدم اطمینان فراهم آورد. سیستم استنتاج عصبی- فازی تطبیقی از الگوریتم‌های یادگیری شبکه عصبی و منطق فازی به منظور طراحی نگاشت غیر خطی بین فضای ورودی و خروجی استفاده می‌کند و همچنین با توجه به توافقی در ترکیب قدرت زبانی یک سیستم فازی با قدرت عددی یک شبکه عصبی در مدل سازی فرایند مذکور بسیار قدرتمند است. این سیستم اولین بار در سال ۱۹۹۳ توسط جانگ و همکاران ارائه شد [۲۰].

در مجموع ANFIS از ساختاری پنج لایه با تعدادی متغیر ورودی تشکیل می‌شود که هر ورودی، دو یا چند تابع عضویت

توسط ضریب همبستگی<sup>۱</sup> و مجدور میانگین مربuat خطای<sup>۲</sup> که بیانگر خطای مدل‌های ارائه شده نسبت به داده‌های تجربی می‌باشد، ارائه شد.

## ۲- مواد و روشها

### ۲-۱- مطالعه موردنی

تصفیه خانه بزرگ آب گیلان وظیفه تأمین آب آشامیدنی شهرها و روستاهای مناطق مرکزی و بخشی از مناطق شرق و غرب را به عهده دارد. جمعیت تحت پوشش این طرح، حداقل دو میلیون و سیصد هزار نفر است. حداکثر آب مورد نیاز جمعیت تحت پوشش به میزان هفت هزار و پانصد لیتر در ثانیه برآورد شده که هشتاد درصد آن، از این تصفیه‌خانه و بقیه از سایر منابع پراکنده منطقه تأمین خواهد شد. آب خام مورد نیاز این تصفیه‌خانه از رودخانه سفیدرود و رودخانه شهری‌جار تأمین می‌شود. وضعیت آب این رودخانه‌ها در فصلهای مختلف، بسیار متغیر است. این تصفیه‌خانه در فاصله حدود بیست کیلومتری جنوب شرقی شهر رشت و در مجاورت کانال چپ سنگر قرار گرفته و در دو مرحله احداث شده است که ظرفیت هر مرحله آن سه هزار لیتر در ثانیه است. بهره‌برداری از مرحله اول تصفیه‌خانه از بهمن سال ۱۳۷۸ شروع شده و در حال حاضر با حداکثر ظرفیت در مدار بهره‌برداری است. این تصفیه‌خانه برای حداکثر غلظت مواد معلق ورودی آب خام تا پانزده گرم در لیتر طراحی شده و با افزایش غلظت تا بیست گرم در لیتر نیز قادر به تصفیه آب است.

### ۲-۲- جمع آوری داده‌ها

در واحد آزمایشگاه، میزان مصرف منعقدکننده به پارامترهایی چون دما، pH، کدورت، ذرات حل شده جامد، هدایت الکتریکی و رنگ آب بستگی دارد. از منعقدکننده‌های پلی آلامینیوم کلراید، سولفات آلامینیوم و پلی الکتروولیت در فرایند، با توجه به وضعیت آب خام استفاده می‌شود. در تصفیه‌خانه برای نشان دادن تأثیر و نوع مواد شیمیایی و میزان مواد منعقدکننده مصرفی از روش جارتست استفاده می‌کنند. از نتایج حاصل از انجام این آزمایش‌ها برای ارائه یک مدل غیرخطی به منظور تعیین میزان مصرف منعقدکننده استفاده می‌شود. مدل سازی فرایند با استفاده از داده‌های آزمایشگاهی سال ۱۳۹۰-۹۱ شامل ۳۰۸ داده که مربوط به مصرف پلی آلامینیوم کلراید است، انجام شد. مدل شامل شش پارامتر مؤثر به عنوان ورودی و یک خروجی بود. در آزمایشگاه برای کنترل و اندازه‌گیری متغیرهای مؤثر بر میزان مصرف منعقدکننده از

<sup>1</sup> Coefficient of Determination

<sup>2</sup> Root Mean Square Error

مشابه برخوردارند. وزن‌ها (w) بر اساس روش حل معادلات متعامد (SNE) به عنوان مقادیر مشخص و ثابت در داخل هر نرون جایگذاری می‌شود. ویژگی بارزی که در این نوع از شبکه‌ها مشاهده می‌شود، حاکی از آن است که نرون‌های مرحله قبلی و یا لایه قبلی عامل و یا مولد تولید نرون‌های جدید هستند. از میان نرون‌های تولید شده، لزوماً باید تعدادی از آنها حذف شوند تا به این وسیله از واگرایی شبکه جلوگیری به عمل آید. اصلاحاً به این‌گونه نرون‌ها، نرون مرده گفته می‌شود. یکی از مسائل مهمی که در شبکه‌های عصبی مصنوعی چند لایه مطرح می‌شود، طراحی ساختار شبکه است. در این طراحی باید تعداد لایه‌ها و نیز ساختار درونی از قبیل تعداد وزن‌ها و مقادیر اولیه آنها و همچنینتابع تحریک هر نرون به صورت مناسب انتخاب شوند تا یک نگاشت مناسب و ایده‌آل میان داده‌های ورودی و خروجی برقرار شود. یکی از اهداف شبکه‌های عصبی GMDH جلوگیری از رشد واگرایی شبکه و نیز مرتبط کردن شکل و ساختار شبکه به یک یا چند پارامتر عددی است؛ به گونه‌ای که با تغییر این پارامتر، ساختار شبکه نیز تغییر کند [۱۸ و ۲۱]. این الگوریتم بر اساس تجزیه سری توابع ولترا به چند جمله‌ای‌های دو متغیره درجه دوم پایه‌ریزی شده است (رابطه ۵).

$$G(x_i, x_j) = a_0 + a_1 x_i + a_2 x_j + a_3 x_i^2 + a_4 x_j^2 + a_5 x_i x_j \quad (5)$$

در این تجزیه، سری ولترا به مجموعه‌ای از معادلات بازگشتی زنجیره‌ای تبدیل می‌شود، به گونه‌ای که مجدداً با جایگذاری جبری هر یک از روابط بازگشتی در یکدیگر، سری ولترا برقرار شود. از روش حل معادلات نرمال (SNE) برای محاسبه ثوابت سری ولترا استفاده می‌شود (روابط ۶ و ۷). الگوریتم این‌گونه شبکه‌ها به گونه‌ای بسته می‌شود که مدل در زمان کمتری به همگرایی برسد [۱۹]. [۱۹]

$$A = \begin{bmatrix} 1 & x_{1p} & x_{1q} & x_{1p}^2 & x_{1q}^2 & x_{1p}x_{1q} \\ 1 & x_{2p} & x_{2q} & x_{2p}^2 & x_{2q}^2 & x_{2p}x_{2q} \\ \vdots & \vdots & \vdots & \vdots & \vdots & \vdots \\ 1 & x_{Mp} & x_{Mq} & x_{Mp}^2 & x_{Mq}^2 & x_{Mp}x_{Mq} \end{bmatrix}$$

$$a = (A^T A)^{-1} A^T Y_{\text{exp}} \quad (7)$$

شبکه عصبی GMDH متشکل از تعدادی نرون و لایه است که نرون‌های هر لایه به صورت غیر خطی با یکدیگر ترکیب شده و نرون‌های جدیدی را تولید می‌نمایند که این نرون‌های جدید، لایه بعدی مدل را تشکیل می‌دهند. هر نرون از دو ورودی ساخته شده است که توسط رابطه خطی سری ولترا با یکدیگر ترکیب می‌شوند و

دارد. در لایه اول (ورودی) میزان تعلق هر ورودی به بازه‌های مختلف فازی توسط کاربر مشخص می‌شود. با ضرب مقادیر ورودی به هر گره در یکدیگر، وزن قانون‌ها در لایه دوم به دست می‌آید. در لایه سوم، عمل محاسبه وزن نسبی قوانین انجام می‌گیرد. لایه چهارم لایه قوانین است که از انجام عملیات بر روی سیگنال‌های ورودی به این لایه حاصل می‌شود. لایه آخر، خروجی شبکه است که هدف آن حداقل نمودن اختلاف خروجی به دست آمده از شبکه و خروجی واقعی است [۱۸]. در جدول ۳، پارامترهای ساختاری ANFIS آورده شده است. در این بخش، از مدل سیستم استنتاج فازی-عصبی تطبیقی سوگانو مرتبه اول برای پیش‌بینی میزان بهینه مصرف منعقدکننده استفاده شد [۲۰]. برای متغیرهای ورودی از تابع گاووسین استفاده شد (رابطه ۱). از الگوریتم ژنتیک و روش حل معادلات نرمال<sup>۱</sup> (روابط ۲ و ۳) برای طراحی و بهینه نمودن پارامترهای غیرخطی در لایه اول ( $a_0, a_i$ ) و پارامترهای خطی لایه چهارم ( $a_0, a_i$ ) (رابطه ۴) استفاده شد [۱۸].

جدول ۳- پارامترهای ساختاری مدل (ANFIS) و (GMDH)

جمعیت اولیه	مقدار جهش	۱۰۰	۰/۱
تعداد تکرار	مقدار تقاطع	۱۰۰۰	۰/۹۸
تعداد قواعد فازی در ANFIS	تعداد قواعد فازی در ANFIS	۲	۶۴
تعداد لایه‌های مخفی در مدل GMDH	تعداد توابع هدف	۳	۲

$$\mu_{A^{(j)}} = \exp\left(-\frac{(x_i - c_j)^2}{2\sigma_j^2}\right) \quad (1)$$

$$A = \begin{bmatrix} 1 & X_{1,1} & X_{2,1} & X_{N,1} \\ 1 & X_{1,2} & X_{2,2} & X_{N,2} \\ 1 & X_{1,M} & X_{2,M} & X_{N,M} \end{bmatrix} \quad (2)$$

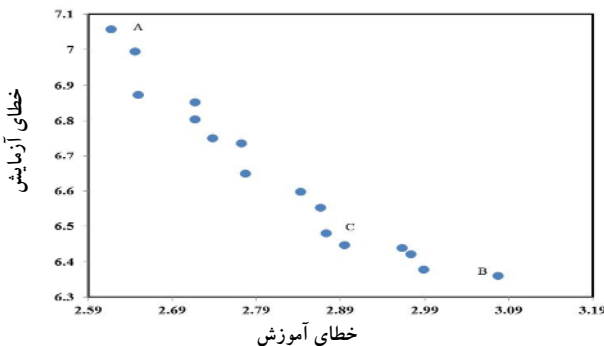
$$a = (A_i^T A_i)^{-1} A_i^T Y_{i,\text{exp}} \quad (3)$$

$$f_i = a_0 + \sum_{i=1}^N a_i X_i \quad (4)$$

#### ۴-۲- شبکه عصبی نوع GMDH

شبکه‌های عصبی GMDH صورتی از الگوریتم GMDH است که به فرم و ساختار شبکه‌ای بیان شده است. شبکه عصبی GMDH شبکه‌ای خود سامانده و یک سویه است که از چند لایه و هر لایه نیز از چندین نرون تشکیل شده است. تمامی نرون‌ها از یک ساختار

<sup>۱</sup> Solve Normal Equation (SNE)



شکل ۲- نقاط طراحی برای مدل چندهدفی شبکه عصبی نوع GMDH

بعد از مدل سازی برای محاسبه خطأ و دقت مدل‌ها از روابط مجدور میانگین مربعات خطأ و ضریب همبستگی استفاده شد (روابط ۱۰ و ۱۱).

$$RMSE = \left[ \sum_{i=1}^n (Y_{i,\text{exp}} - Y_{i,\text{model}})^2 / n \right]^{0.5} \quad (10)$$

$$R^2 = 1 - \left[ \sum_{i=1}^n (Y_{i,\text{exp}} - Y_{i,\text{model}})^2 / \sum_{i=1}^n (Y_{i,\text{exp}})^2 \right] \quad (11)$$

در شکل‌های ۱ و ۲، منحنی مقدار خطای آزمایش بر حسب خطای آموزش که اصطلاحاً منحنی پارتولو<sup>۱</sup> نامیده می‌شود، نشان داده شده است. کاملاً مشخص است که تمامی نقاط پارتولو از دید دوتابع هدف نسبت به هم غیر برترند. همچنین همان‌طور که در شکل مشخص شده است، نقطه A دارای کمترین خطای آموزشی و نقطه B دارای کمترین خطای پیش‌بینی است. با حرکت از نقطه A به سمت نقطه B، خطای مدل‌سازی افزایش و خطای پیش‌بینی کاهش می‌یابد. به عبارت دیگر، بهبود در یکی از توابع هدف یک نقطه باعث بدتر شدن تابع هدف دیگر آن شده است. نقطه مصالحه طراحی از بین تمامی نقاط پارتولو، نقطه C می‌تواند باشد؛ زیرا خطای مدل‌سازی نسبت به خطای آموزشی در این نقطه، دارای توازن بیشتری نسبت به نقاط دیگر است. پارامترهای مدل‌های ارائه شده به ازای تمامی نقاط پارتولو با توجه به دوتابع هدف خطای آموزش و آزمایش به طور همزمان محاسبه می‌شوند و مقادیر پارامترهای نقطه مصالحه به عنوان مقادیر بھینه در نظر گرفته می‌شوند.

مقادیر خطاهای آموزش و آزمایش نقاط مشخص شده در شکل‌های ۱ و ۲، در جدول ۴ ذکر شده است.

در مدل ANFIS، به ازای هر ورودی در لایه اول، دوتابع

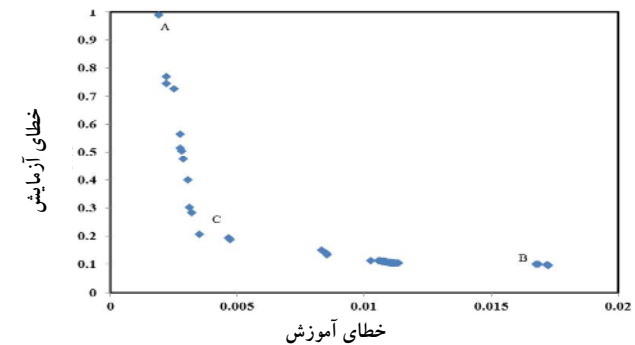
خروجی نرون به دست می‌آید. طبق روشی که پیش از این توضیح داده شد، ضرایب  $a_0$  تا  $a_5$  به دست می‌آیند. در این روش، نرون‌ها در قالب یک کروموزوم با هم ترکیب می‌شوند. کروموزوم که جزئیات ساختاری شبکه GMDH را نشان می‌دهد، از رشته‌هایی که اجزای آن حروف الفبا هستند، ساخته شده است. در این روش کدگذاری، داده‌های مختلف ورودی با حروف الفبا نامگذاری می‌شود. هر کروموزوم، رشته‌ای است که از به هم پیوستن داده‌های ورودی نامگذاری شده، ایجاد شده است.

### ۳- نتایج و بحث

در واحد انقاد، به منظور حذف فیزیکی ذرات جامد، از منعقدکننده پلی‌آلومینیوم کلراید استفاده می‌شود. آزمایش‌های مورد نظر در واحد آزمایشگاه تصفیه‌خانه آب گیلان انجام و داده‌های تجربی مورد استفاده برای ایجاد مدل‌ها گردآوری شدند. مدل‌سازی با انتفاده از داده‌های آزمایشگاهی شامل شش ورودی و یک خروجی انجام شد (جدول ۲). پارامترهای مدل‌های ارائه شده با در نظر گرفتن دوتابع هدف خطای آموزشی (TE) و خطای آزمایشی (PE) (روابط ۸ و ۹) که مربوط به اختلاف نتایج حاصل از مدل‌ها با نتایج تجربی میزان مصرف منعقدکننده است، تعیین می‌شود. این پارامترها باید به گونه‌ای تعیین شوند که مقادیر خطای آموزشی و آزمایشی داده‌ها به طور همزمان نسبت به هم‌دیگر حداقل باشد (نقاط مصالحه در نمودار پرتو (شکل‌های ۱ و ۲)).

$$TE = \sum_{i=1}^n (Y_{i,\text{exp}} - Y_{i,\text{train}})^2 \quad (8)$$

$$PE = \sum_{i=1}^n (Y_{j,\text{exp}} - Y_{j,\text{prediction}})^2 \quad (9)$$



شکل ۱- نقاط طراحی برای مدل چندهدفی ANFIS

برای ایجاد مدل‌ها، از هفتاد درصد داده‌ها به عنوان داده‌های آموزشی، و مابقی به عنوان داده‌های آزمایشی استفاده شد. در نهایت

<sup>1</sup> Pareto

می شود، برای نقطه مصالحه طراحی C، خطای آموزش و آزمایش به طور همزمان حداقل هستند (شکل ۲). پس از به دست آوردن نقطه پاره تو بهینه، کروموزوم برتر به دست می آید که در اینجا با سه لایه مخفی، کروموزوم مورد نظر به طول  $2^4$  است که توان  $4^4$  همان تعداد لایه های مخفی  $+1$  است. لذا کروموزوم به دست آمده  $16^4$  رقیمی است و هر رقم مربوط به یک ورودی است. کروموزوم برتر برای پیش بینی میزان مصرف منعقد کننده در مدل GMDH به صورت جدول ۶ است.

باید توجه داشت که هر عدد متعلق به یک پارامتر ورودی است که ترتیب آنها به شرح زیر است: ۱- دما-۲- pH-۳- کدورت-۴- ذرات جامد معلق-۵- هدایت الکتریکی-۶- رنگ.

در این روش در لایه مخفی اول، نرون ها به صورت ۲ به ۲ با یکدیگر ترکیب می شوند و ترکیب آنها به صورت  $1114165512152323$  است. برای سهولت در ارائه جدول، نرون ها نامگذاری می شوند، لذا برای مصرف منعقد کننده پلی آلمینیوم کلراید در لایه اول:  $Y_1=14$   $Y_2=16$   $Y_3=12$   $Y_4=15$   $Y_5=23$   $Y_6=24$   $Y_7=1114$   $Y_8=1655$   $Y_9=1215$   $Y_{10}=2324$   $Y_{11}=11141655$   $Y_{12}=12152324$ . پس از تعیین ضرایب مربوط به نرون های لایه اول نوبت به ضرایب لایه دوم می رسد که در این لایه طول هر کروموزوم برابر  $4$  است و نامگذاری نرون ها نیز به این ترتیب است.

در لایه مخفی سوم طول هر کروموزوم  $8$  است و نامگذاری آنها به صورت:  $Y_{12}=12152324$   $Y_{11}=11141655$   $Y_{10}=2324$   $Y_9=1215$  است. مدل ریاضی و ثوابت سری ولترا در مدل GMDH برای تمامی نرون های مربوط به میزان مصرف منعقد کننده پلی آلمینیوم کلراید در جدول ۷ ارائه شده است. در انتهای مدل سازی ساختار به دست آمده برای پیش بینی میزان مصرف منعقد کننده در شکل ۴ نشان داده شده است. نشان دهنده نرون در لایه های مختلف است.

جدول ۴- مقدار نقطه بهینه از دید هر تابع هدف به همراه نقطه مصالحه با دو تابع هدف

خروجی	نقطه طراحی	TE	PE
GMDH	A	۲/۶۱۷۴	۷/۰۵۶۳
ANFIS	B	۳/۰۷۷۵	۶/۳۵۹۷
ANFIS	C	۲/۸۷۳۲	۶/۴۷۰۱
ANFIS	A	۰/۰۰۱۹	۰/۹۸۸۸
ANFIS	B	۰/۰۱۷۲	۰/۰۹۷۷
ANFIS	C	۰/۰۰۳۵	۰/۲۰۵۷

عضویت در نظر گرفته شد و مقادیر بهینه ثابت تابع گاوین با استفاده از الگوریتم ژنتیک برای نقطه مصالحه محاسبه شد. توابع عضویت گوسی برای نقطه طراحی به ازای هر ورودی در شکل ۳ نشان داده شده است.

مقادیر پارامترهای توابع عضویت گوسی به کار رفته در مدل ANFIS در جدول ۵ آورده شده است.

جدول ۵- مقادیر ثوابت توابع عضویت گوسی مدل دوهدفی ANFIS

ورودی ها	Gaussian MF(1)	Gaussian MF(2)	$\sigma$	C
دما (°C)	۲۲/۳۱۱۱	۰/۹۹۳۳۶۵	۱۰/۹۶۹۸	۱۲/۸۸۲۱۳
(-) pH	۸/۳۳۶۶۷	۰/۱۰۶۵۲	۷/۹۰۲۳۸۱	۰/۴۴۲۳۳۸
(NTU)	۱۷۴/۴۶۷۸	۱۵۶/۵۸۴۹	۲۳۳۴/۲۵۹	۱۵۶/۵۸۴۹
جامدات معلق (mg/L)	۱۰۰۶/۵۸۷	۱۱۷/۸۴	۳۵۶۲/۹۰۵	۱۹۹۳/۳۰۴
هدایت الکتریکی ( $\mu\text{s}/\text{cm}$ )	۱۵۸۲/۹۵۲	۱۵۸۱/۵۸۵	۱۵۰/۵۷۱۱۹	۹۷/۵۷۱۱۹
رنگ(pt-co)	۷۸۲/۱۵۸۷	۱۴۲۰/۳۸۵	۳۲۵۳/۵۸۷	۱۲۹/۷۵

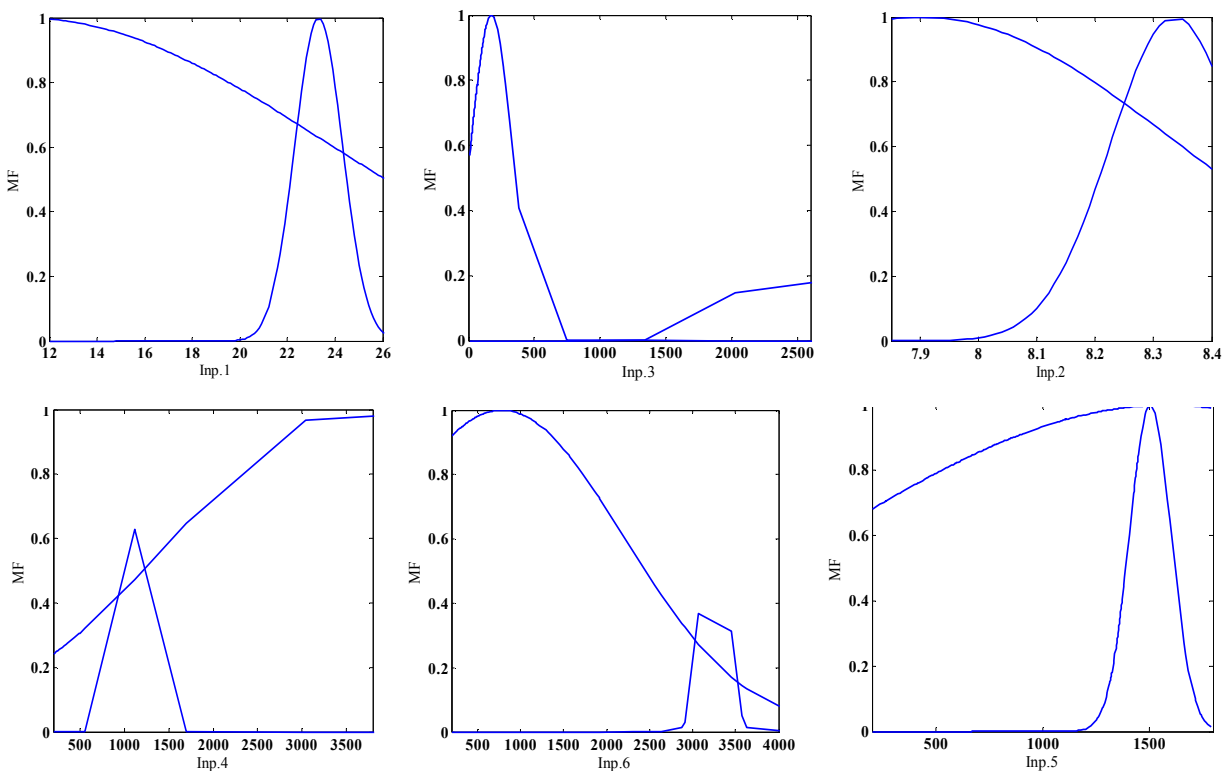
در مدل GMDH نیز با استفاده از الگوریتم ژنتیک، ساختار بهینه به دست آمد. در این روش، کروموزومی که کمترین میزان خطای آموزش و آزمایش را دارد، به عنوان کروموزوم برتر انتخاب

جدول ۶- کروموزوم برتر برای پیش بینی میزان مصرف منعقد کننده

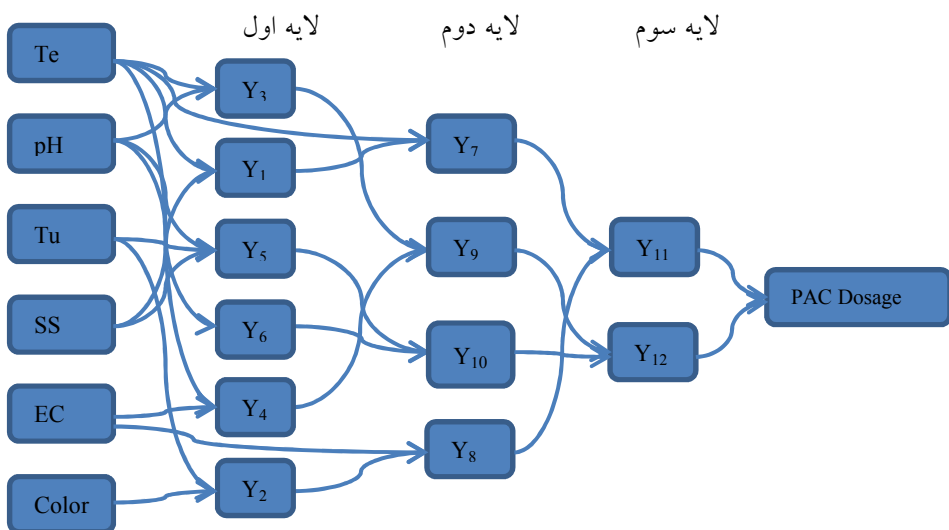
خطای آزمایش	خطای آموزش	کروموزوم بهینه به دست آمده توسط مدل شبکه عصبی نوع GMDH	۱	۱	۱	۱	۱	۲	۲	۳	۲	۴	۲/۸۷۳۲	۶/۴۸۰۱
			۱	۱	۱	۱	۱	۱	۱	۱	۱	۱	۱	۱

جدول ۷- مدل ریاضی برای محاسبه میزان مصرف پلی آلمینیوم کلراید با استفاده از شبکه عصبی نوع GMDH

مقادیر ثوابت سری ولترا در مدل GMDH	شماره نرون	لایه
$Y_1=0.0624 + 0.6127 \text{Te} + 0.0552 \text{SS} - 0.0131 (\text{Te})^2 - 1.8e-6 (\text{SS})^2 - 0.0026 (\text{Te}) (\text{SS})$	لایه اول	$Y_2=5.4485 + 0.0223 \text{Tu} + 0.0016 \text{Color} - 4e-6 (\text{Tu})^2 + 2.3e-9 (\text{Color})^2 - 2e-6 (\text{Tu}) (\text{Color})$
$Y_3=-1447.1307 + 3.8493 \text{Te} + 356.2078 \text{pH} + 0.0244 (\text{Te})^2 - 21.5819 (\text{pH})^2 - 0.6230 (\text{Te}) (\text{pH})$		$Y_4=0.1512 + 1.4195 \text{Te} - 0.0033 \text{EC} - 0.0583 (\text{Te})^2 - 2.8e-6 (\text{EC})^2 + 0.0005 (\text{Te}) (\text{EC})$
$Y_5=2.6847 + 10.8590 \text{pH} - 0.6380 \text{Tu} - 1.2858 (\text{pH})^2 - 8.3e-6 (\text{Tu})^2 + 0.0821 (\text{pH}) (\text{Tu})$		$Y_6=2.7282 + 11.0558 \text{pH} - 0.2357 \text{SS} - 1.3079 (\text{pH})^2 - 2.27e-6 (\text{SS})^2 + 0.0307 (\text{pH}) (\text{SS})$
$Y_7=31.7789 - 3.4443 \text{Te} - 1.0684 Y_1 + 0.0521 (\text{Te})^2 - 0.0453 (Y_1)^2 + 0.2280 (\text{Te}) (Y_1)$		$Y_8=-2.4761 + 1.2766 Y_2 - 0.0015 \text{EC} - 0.0167 (Y_2)^2 + 2.5e-7 (\text{EC})^2 + 3.5e-4 (Y_2) (\text{EC})$
$Y_9=11.5186 + 1.7401 Y_3 - 3.9454 Y_4 - 0.0321 (Y_3)^2 + 0.3091 (Y_4)^2 - 0.0617 (Y_3) (Y_4)$		$Y_{10}=0.6633 + 3.1189 Y_5 - 2.2315 Y_6 - 0.1697 (Y_5)^2 - 0.0532 (Y_6)^2 + 0.2279 (Y_5) (Y_6)$
$Y_{11}=-2.9489 + 0.7291 Y_7 + 0.7846 Y_8 + 0.0677 (Y_7)^2 + 0.0483 (Y_8)^2 - 0.133 (Y_7) (Y_8)$	لایه دوم	$Y_{12}=2.9822 - 0.8669 Y_9 + 1.0309 Y_{10} + 0.0585 (Y_9)^2 - 0.0014 (Y_{10})^2 - 0.0012 (Y_9) (Y_{10})$
PAC Dosage		$-1.0513 + 0.4845 Y_{11} + 0.7213 Y_{12} - 0.2219 (Y_{11})^2 - 0.2431 (Y_{12})^2 + 0.4614 (Y_{11}) (Y_{12})$



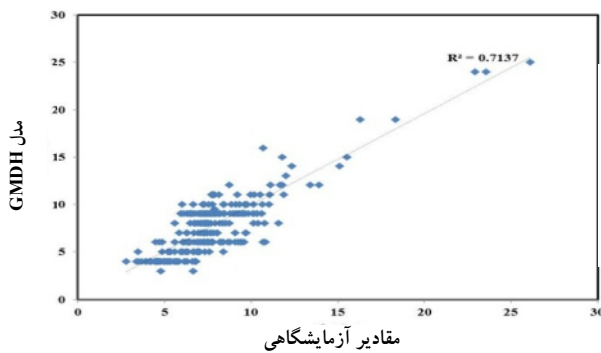
شکل ۳- توابع عضویت طراحی شده توسط الگوریتم ژنتیک با دوتابع هدف برای مدل ANFIS



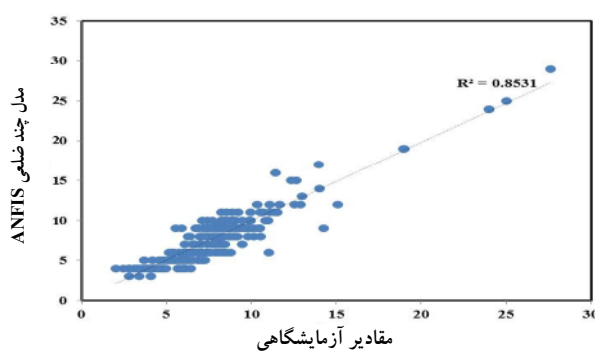
شکل ۴- ساختار شبکه عصبی نوع GMDH برای محاسبه میزان مصرف منعقدکننده پلی آلومینیوم کلراید

همچنین مقادیر حداقل و حداکثر داده‌های تجربی با نتایج حاصل از مدل مقایسه و در جدول ۸ گزارش شده‌اند.  
نتایج حاکی از آن است که مدل‌های ارائه شده، کارایی لازم را به منظور پیش‌بینی مصرف منعقدکننده دارند و مدل ANFIS عملکرد بهتری نسبت به مدل GMDH از خود نشان داد.

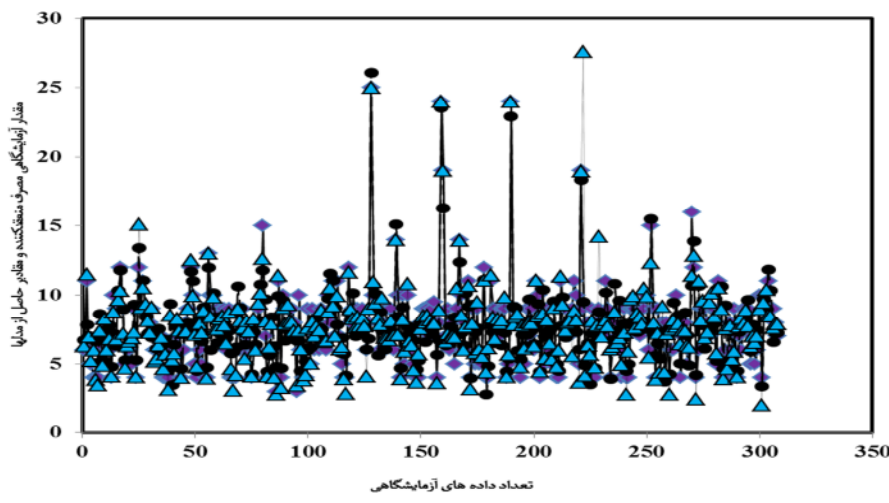
خروجی حاصل از مدل‌های ANFIS و GMDH بر حسب خروجی واقعی برای هر دسته داده برای نقطه مصالحه طراحی C در شکل‌های ۵ و ۶ نشان داده است.  
در شکل ۷ مدل‌های ارائه شده برای مدل‌سازی و پیش‌بینی میزان مصرف منعقدکننده در واحد آزمایشگاه با یکدیگر مقایسه شده‌اند. دقت و مقادیر خطای مدل‌ها در جدول ۸ آورده شده است.



شکل ۶- مقایسه خروجی واقعی و خروجی مدل GMDH مربوط به مصرف پلی آلومینیوم کلراید



شکل ۵- مقایسه خروجی واقعی و خروجی مدل ANFIS مربوط به مصرف پلی آلومینیوم کلراید



شکل ۷- مقایسه مدل های ارائه شده برای مدل سازی و پیش بینی میزان مصرف منعقدکننده پلی آلومینیوم کلراید در واحد آزمایشگاه

جدول ۸- خطای حاصل از مدل سازی مربوط به میزان مصرف منعقدکننده در واحد آزمایشگاه

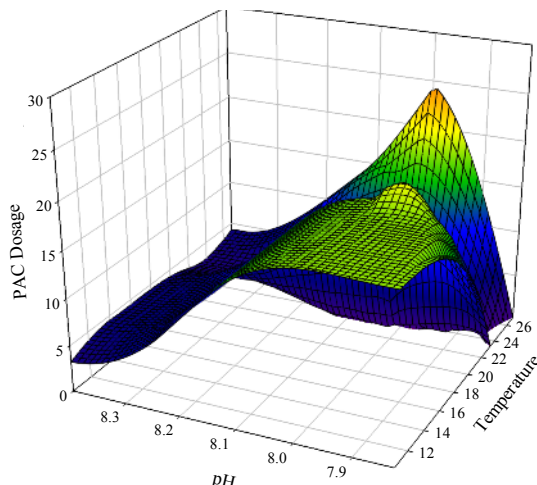
R <sup>2</sup>	RMSE	دز حداقل		دز حداقل		مدل
		Model	EXP.	Model	EXP.	
۰/۹۷۶۲	۱/۲۶۹۷	۲۵	۲۵	۲/۷۸۵۵	۳	ANFIS
۰/۹۶/۱	۱/۶۴۵۰	۲۶/۱۰۱۲	۲۵	۴/۷۹۹۸	۳	GMDH

جدول ۹- مقادیر بهینه متغیرهای مستقل مؤثر بر میزان مصرف منعقدکننده شامل ورودی ها و خروجی

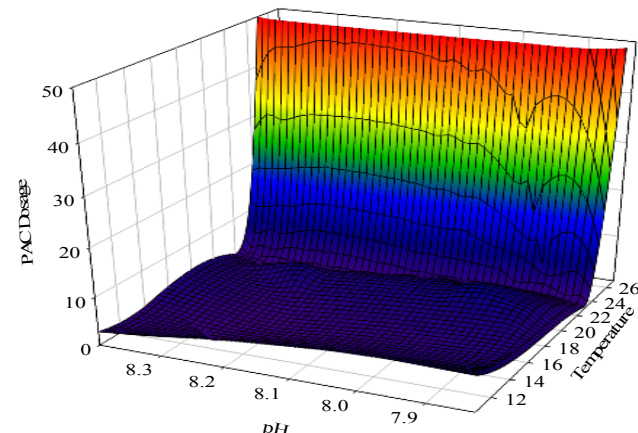
نوع مدل	ورودی های مدل						خروجی مدل
	دما (°C)	pH (-)	کدورت (NTU)	جامدات معلق (mg/L)	هدایت الکتریکی (µs/cm)	رنگ (pt-co)	
GMDH	۱۸/۰۹۰	۸/۰۸۸	۴۰/۶۰۱	۱۴۲۳/۶۳۵	۱۲۵۶/۲۰۰	۵۷۱/۷۱۴	میزان مصرف منعقدکننده (ppm)
ANFIS	۲۳/۰۵۵	۸/۰۵۲	۱۲۷۸/۵۰۰	۲۵۴۱/۷۰۰	۱۲۵۸/۱۰۰	۲۰۳۳/۰۰۰	

فرایند مورد استفاده قرار گرفتند، استفاده شد. مدل های ایجاد شده، تابع متغیرهای مستقل دمای آب خام، pH آب خام، ذرات حل شده جامد، کدورت، هدایت الکتریکی و رنگ آب خام هستند. برای

در نهایت برای بهینه سازی پارامترهای مؤثر بر میزان مصرف منعقدکننده پلی آلومینیوم، از مدل های چند هدفی شبکه های عصبی نوع GMDH و ساختارهای فازی ANFIS که برای مدل سازی



شکل ۹- اثر متغیرهای مستقل دما و pH آب خام بر روی میزان مصرف منعقدکننده پلی آلومینیوم کلراید در شرایط بهینه برای مدل ANFIS



شکل ۸- اثر متغیرهای مستقل دما و pH آب خام بر روی میزان مصرف منعقدکننده پلی آلومینیوم کلراید در شرایط بهینه برای مدل GMDH

و رنگ، میزان مصرف منعقدکننده افزایش و با افزایش دمای آب خام تا ۲۳ درجه سلسیوس، میزان مصرف کاهش و بعد از آن افزایش می‌یابد.

استفاده از بهینه‌سازی چند هدفی در طراحی سیستم ANFIS و GMDH برای سیستم‌ها و فرایندهای پیچیده، مجموعه نقاط طراحی بهینه غیر برتر (پارتو) را به دست می‌دهد و طراحان با در دست داشتن تمامی نقاط طراحی بهینه، می‌توانند نقطه مصالحه طراحی را انتخاب کنند.

مدل‌سازی رفتار سیستم‌ها با استفاده ترکیبی از ANFIS و الگوریتم ژنتیک و روش حل معادلات نرم‌ال (SNE) به صورت چندهدفی، منجر به نتایج خوبی در داده‌های آموزش دیده و همچنین در پیش‌بینی رفتار داده‌های آموزش ندیده، می‌شود.

در مجموع، مدل ANFIS کارایی بهتری برای پیش‌بینی میزان مصرف منعقدکننده پلی آلومینیوم کلراید دارد.

##### ۵- قدردانی

از مسئولان محترم شرکت آب و فاضلاب گیلان و تصفیه خانه بزرگ آب شهر رشت که صمیمانه در انجام هر چه بهتر این پروژه یاری رساندند، تشکر و قدردانی به عمل می‌آید.

بهینه‌سازی میزان مصرف از الگوریتم ژنتیک استفاده شد. مقادیر بهینه پارامترهای مؤثر بر میزان مصرف منعقدکننده برای هر دو مدل در جدول ۹ آورده شده است. در این شرایط میزان مصرف منعقدکننده حداقل است. اثر پارامترهای دما و pH آب خام بر روی میزان مصرف در شرایط بهینه در شکل‌های ۸ و ۹ نشان داده شده است. در شکل‌های ۸ و ۹ بقیه پارامترها، مقدار بهینه خود را خواهند داشت. نتایج نشان می‌دهد که با افزایش دمای آب خام تا ۲۳ درجه سلسیوس، میزان مصرف پلی آلومینیوم کلراید کاهش و بعد از آن افزایش می‌یابد و در pH بین ۱/۸ تا ۲/۸، میزان مصرف، حداقل است.

##### ۴- نتیجه‌گیری

نتایج نشان می‌دهد که سیستم استنتاج فازی-عصبی تطبیقی (ANFIS) و مدل شبکه عصبی نوع GMDH می‌توانند با دقت قابل قبولی میزان مصرف منعقدکننده را پیش‌بینی نمایند.

بیشترین تأثیر بر روی میزان مصرف، مربوط به دما و pH آب خام است. بهترین عملکرد منعقدکننده در pH بین ۱/۸ تا ۲/۸ است. میزان مصرف منعقدکننده در کدورت‌های بسیار پایین افزایش می‌یابد. با افزایش کدورت، ذرات حل شده جامد، هدایت الکتریکی

##### ۶- مراجع

1. Maniezzo, V. (1994). "Genetic evolution of topology and weight distribution of neural networks." *IEEE Trans. On Neural Networks*, 5(1), 39-53.
2. Bratby, J. (2006). *Coagulation and flocculation in water and wastewater treatment*, IWA Pub., USA.

3. Hu, C., Lu, H., Qu, J., Wang, D., and Rut, J. (2006). "Coagulation behavior of aluminum salts in eutrophic water: Significance of Al13 species and pH control." *Environmental Science and Technology*, 40(1), 325-331.
4. Dentel, S.K. (1991). "Coagulant control in water treatment." *Critical Reviews in Environmental Science and Technology*, 21(1), 41-135.
5. Edzwald, J. (1993). "Coagulation in drinking water treatment: Particles, organics and coagulants." *Water Science and Technology*, 27(11), 21-35.
6. Hanson, A.T., and Cleasby, J.L. (1990). "The effects of temperature on turbulent flocculation: Fluid dynamics and chemistry." *J. American Water Works Association*, 82(11), 56-73.
7. Gregor, J., Nokes, C., and Fenton, E. (1997). "Optimising natural organic matter removal from low turbidity waters by controlled pH adjustment of aluminium coagulation." *Water Research*, 31(12), 2949-2958.
8. Juntunen, P., Lu, K., Konen, M., Pelo, M., Lehtola, M.J., and Hilton, Y. (2012). "Modeling of water quality: An application to a water treatment process." *Applied Computational Intelligence and Soft Computing*, Article ID: 846321.
9. Heddam, S., Bermad, A., and Dechemi, N. (2012). "ANFIS-based modelling for coagulant dosage in drinking water treatment plant: A case study." *Environmental Monitoring and Assessment*, 184 (4), 1953-1971.
10. Yu, R.F., Kang, S.F., Liaw, S.L., and Chen, M.C. (2000). "Application of artificial neural network to control the coagulant dosing in water treatment plant." *Water Science and Technology*, 42 (3-4), 403-408.
11. Shariff, R. (2007). *Real-time artificial intelligence control and optimization of a full scale WTP*, American Water Works Research Foundation.
12. Bazer-Bachi, A., Puech-coste, R., and Probst, J.L. (1990). "Mathematical modelling of optimal coagulant dose in water treatment plant." *Rev. Sci Edu.*, 3 (4), 377-397. (In Persian)
13. Gagnon, C., Grandjean, B., and Thibault, J. (1997). "Modelling of coagulant dosage in a water treatment plant." *Artificial Intelligence in Engineering*, 11(4), 401-404.
14. Leeuwen, V. (1999). "Empirical mathematical models and artificial neural networks for the determination of alum doses for treatment of southern Australian surface waters." *Aqua*, 48(3), 115-127.
15. Maier, H.R., Morgan, N., and Chow, C.W.K. (2004). "Use of artificial neural networks for predicting optimal alum doses and treated water quality parameters." *Environmental Modelling and Software*, 19(5), 485-494.
16. Wu, G.-D., and Lo, S.-L. (2008). "Predicting real-time coagulant dosage in water treatment by artificial neural networks and adaptive network-based fuzzy inference system." *Engineering Applications of Artificial Intelligence*, 21(8), 1189-1195.
17. Jamali, A., Narmian-zadeh, N., Ashraf, H., and Jamali, Z. (2008). "Robust Pareto design of ANFIS networks for nonlinear systems with probabilistic uncertainties." *IEEE, International Symposium, Istanbul*, 300-304.
18. Nariman-Zadeh, N., and Jamali, A. (2007). "Pareto genetic design of GMDH-type neural networks for nonlinear systems." *Proceeding of IWIM*, University of Guilan, Iran
19. Zadeh, L.A. (1965). "Fuzzy sets." *Information and Control*, 8(3), 338-353.
20. Jang, J.S.R. (1993). "ANFIS: Adaptive-network-based fuzzy inference system." *Systems, Man and Cybernetics, IEEE Transactions*, 23(3), 665-685.
21. Ivakhnenko, A., and Ivakhnenko, G. (1995). "The review of problems solvable by algorithms of the group method of data handling (GMDH)." *Pattern Recognition and Image Analysis*, 5, 527-535.